

UNIVERZITA KARLOVA
Přírodovědecká fakulta

Studijní program: Klinická a toxikologická analýza



Viktor Greguš

STANOVENÍ OLOVA A ZINKU V KRVI SÝKOR KOŇADER

Determination of lead and zinc in great tits blood

Bakalářská práce

Vedoucí bakalářské práce: RNDr. Jakub Hraníček, Ph.D.

Konzultant bakalářské práce: RNDr. Stanislav Musil, Ph.D.

Praha 2019

Tato práce vznikla v souvislosti s řešením projektu GAUK 1626218.

Prohlášení

Prohlašuji, že jsem tuto závěrečnou práci zpracoval samostatně a že jsem uvedl všechny použité informační zdroje a literaturu. Tato práce ani její podstatná část nebyla předložena k získání jiného nebo stejného akademického titulu.

Jsem si vědom toho, že případné využití výsledků získaných v této práci mimo Univerzitu Karlovu je možné pouze po písemném souhlasu této univerzity.

V Praze dne 17. prosince 2019.

Poděkování

Chtěl bych poděkovat RNDr. Jakubu Hraníčkoví, Ph.D. za vedení, dobré rady a čas, který mi věnoval při zpracovávání této práce. Také bych chtěl poděkovat RNDr. Stanislavu Musilovi, Ph.D. za poskytnutí odborných znalostí a praktických zkušeností během měření. Poděkování také patří mé rodině, která mě po dobu mého studia podporovala.

Abstrakt CZ

Monitorování koncentrace těžkých prvků v organismech ptáků, žijících v blízkosti člověkem osídlených oblastí, se již prokázalo jako vhodná metoda pro sledování kontaminace životního prostředí člověka, jehož zdraví může být přítomností těchto prvků ovlivněno. Tato bakalářská práce se zabývá stanovením vybraných těžkých kovů (olovo, zinek) ve vzorcích sušené krve sýkor koňader (*Parus major*) technikou hmotnostní spektrometrie v kombinaci s indukčně vázaným plazmatem.

Vzorky sušené krve byly zváženy, převedeny do roztoku kyseliny dusičné a peroxidu vodíku a mikrovlnně rozloženy. Byla připravena kalibrační řada standardů pro stanovované prvky a byly stanoveny základní analytické charakteristiky měření. Interference vlivem matričního roztoku byla sledována měřením certifikovaného referenčního materiálu plné krve, podle které byla určena výtěžnost stanovení prvků, jako poměr směrnice závislosti koncentrace standardního přídatku prvku k referenčnímu materiálu a směrnice vodné kalibrace.

Klíčová slova

Hmotnostní spektrometrie s indukčně vázaným plazmatem, krev, těžké kovy, sýkora koňadra

Abstract EN

Determination of heavy metals in urban living passerine birds organism has been considered as suitable method for monitoring pollution of human environment which these elements can cause. This study deals with determination of zinc and lead in dried great tits blood samples using inductively coupled plasma-mass spectrometry technique.

Dried blood samples were weighed, solubilized in nitric acid and hydrogen peroxide and microwavely digested. Calibration standards for determined elements were prepared and basic analytical characteristics of the measurement were determined. Matrix interference was examined by measuring the recovery of element determination presented as a ratio of the slope of standard addition to the certified reference material of whole blood sample and the slope of external calibration.

Keywords

Inductively coupled plasma mass spectrometry, blood, heavy metals, great tits

Obsah práce

1	Úvod	- 8 -
1.1	Cíl bakalářské práce	- 8 -
2	TEORETICKÁ ČÁST	- 9 -
2.1	Sledování kvality životního prostředí	- 9 -
2.2	Expozice těžkými prvky	- 9 -
2.2.1	Důsledky expozice	- 9 -
2.3	Hmotnostní spektrometrie	- 10 -
2.3.1	Hmotnostní analyzátory	- 10 -
2.4	Indukčně vázané plazma	- 11 -
2.4.1	Princip výboje	- 11 -
2.4.2	Generátory ICP	- 11 -
2.5	ICP-MS	- 12 -
2.5.1	Instrumentace ICP-MS	- 12 -
2.5.2	Omezení ICP-MS	- 12 -
2.5.3	Interference u ICP-MS	- 13 -
2.6	Stanovované prvky	- 13 -
2.6.1	Olovo (Pb, lat. Plumbum)	- 13 -
2.6.2	Zinek (Zn, lat. Zincum)	- 14 -
3	EXPERIMENTÁLNÍ ČÁST	- 16 -
3.1	Používané chemikálie a materiál	- 16 -
3.2	Použité přístroje a zařízení	- 16 -
3.3	Charakteristika vzorků	- 18 -
3.4	Pracovní postup	- 18 -
3.4.1	Příprava vzorků k analýze	- 18 -
3.4.2	Příprava kalibračních standardů	- 19 -
3.4.3	Optimalizace přístroje ICP-MS	- 22 -
3.4.4	Parametry přístroje	- 23 -
3.4.5	Statistické zpracování výsledků	- 24 -
4	VÝSLEDKOVÁ ČÁST A DISKUZE	- 26 -
4.1	Kalibrace metody ICP-MS	- 26 -
4.1.1	Stanovení LOD a LOQ	- 26 -
4.2	Ověření správnosti	- 26 -
4.2.1	Certifikovaný referenční materiál	- 26 -
4.2.2	Stanovení výtěžnosti	- 27 -
4.3	Analýza vzorků ptačí krve	- 28 -
5	ZÁVĚR	- 30 -
6	Použitá literatura	- 31 -
	Příloha 1	- 33 -

Seznam uvedených zkratek a symbolů

CPS	counts per second
CRM	certifikovaný referenční materiál
FTMS	Hmotnostní spektrometrie s Fourierovou transformací
ICP	indukčně vázané plazma
LIT	lineární kvadrupólová past
LOD	mez detekce
LOQ	mez stanovitelnosti
<i>Me</i>	medián
MS	hmotnostní spektrometrie
ppb	parts per billion
ppm	parts per million
QQQ	trojitý kvadrupól
PE	polyethylen
rps	otáčky za sekundu
<i>SD</i>	směrodatná odchylka
TEO	tetraethylolovo
TOF	průletový analyzátor (tzv. time of flight)
<i>νf</i>	vysokofrekvenční
\bar{x}	aritmetický průměr
3D QIT	3D kvadrupólová past

1 ÚVOD

Hmotnostní spektrometrie v kombinaci s indukčně vázaným plazmatem patří mezi přední metody v oblasti stopové a ultrastopové analýzy, která pro svou univerzálnost, vysokou citlivost a rychlost analýzy vzorků, nejen v kapalném, ale i v pevném a plynném skupenství, předčí ostatní běžně užívané metody, a to i přes své vyšší provozní náklady. Tato metoda umožňuje stanovení současně více prvků, zastoupení přírodních izotopů prvků, ale také pro stanovované prvky poskytuje, oproti jiným metodám, nejnižší meze detekce.

1.1 Cíl bakalářské práce

Tato bakalářské práce je součástí rozsáhlé studie o kvalitě životního prostředí. Studie je zaměřena na využití některých živočichů jako bioindikátorů čistoty prostředí pomocí monitorování obsahu širokého spektra těžkých prvků v jejich organismech.

Hlavním cílem této bakalářské práce bylo stanovení koncentrací olova a zinku v dodaných vzorcích sušené krve sýkor koňader. Vlastní analýze předcházela nezbytná příprava vzorků zahrnující vážení, převod vzorku do roztoku, mikrovlnný rozklad a ředění. Kontrola správnosti měření byla ověřena analýzou certifikovaného referenčního materiálu.

Získané výsledky byly poskytnuty pro další zpracování a vyhodnocení.

2 TEORETICKÁ ČÁST

2.1 Sledování kvality životního prostředí

Expozice organismu těžkými prvky je jedno z nejdiskutovanějších témat posledních let a navzdory všem nařízením a restrikcím se jedná o stále nevyřešený problém především kvůli velké perzistenci prvků v prostředí.¹⁻³ Existující studie již prokázaly rozdíly hodnot koncentrací prvků kumulujících se v tkáních pěvců hnízdících ve městech a mimo ně.⁴ Prokázána byla i též zvýšená koncentrace v tkáních v závislosti na vzdálenosti od znečištěných lokalit.⁵ Na základě těchto poznatků lze tyto živočichy považovat za vhodné ukazatele kvality životního prostředí.

2.2 Expozice těžkými prvky

Studování zastoupení těžkých kovů v organismu ptáků z rodu pěvců se osvědčilo jako vhodná metoda pro monitorování tohoto problému.⁵ Mezi toxické prvky, které mají tendenci se kumulovat v organismech a které již byly předmětem výzkumu, patří především zinek, kadmium, chrom, olovo, měď a arsen, přičemž z výše jmenovaných má olovo tendenci největší.^{6,7} Velká pozornost byla věnována také monitoringu rtuti a jejích sloučenin.⁸⁻¹⁰

K monitoringu lze využít rozbor složení biomateriálů, jako jsou krev, peří nebo výkaly.^{11,12} Peří je vhodný materiál pro sledování dlouhodobé expozice,¹³ zatímco krev lépe slouží k monitorování akutního stavu, a to především při stanovení olova.¹⁴

Ptáci jsou vystaveni přímému kontaktu s těžkými kovy ve vzduchu, prachu, vodě a nepřímo v potravě především díky industriální produkci.¹⁵

2.2.1 Důsledky expozice

Negativní důsledky spojené s expozicí mohou být např. reprodukční poruchy, porucha krvetvorby, nedostatek některých vitamínů, přetrvávající stres nebo také snížená doba dožití.¹⁶⁻¹⁹ Otrava olovem patří také k jedné z hlavních příčin úmrtí volně žijících ptáků. Smrt je většinou způsobena poruchou imunitního systému vlivem působení tohoto kovu.²⁰ Potvrzen je také přímý vliv expozice na předčasné kladení vajec a následný zpomalený růst mláďat.²¹

2.3 Hmotnostní spektrometrie

Hmotnostní spektrometrie je mikroanalytická technika používána k identifikaci a stanovení množství daného analytu. Dále je také využívána k určení elementárního složení či molekulové struktury analytu. Těchto úkonů je dosaženo prostřednictvím experimentálního měření hmotnosti plyných iontů tvořených z molekul analytu. Před svým rozvojem v oblasti anorganické hmotnostní spektrometrie, nacházela své uplatnění taky v oblasti organické analýzy.^{22,23}

2.3.1 Hmotnostní analyzátory

Hmotnostní analyzátor se používá k separaci iontů podle poměru jejich hmotnosti a náboje na základě jejich charakteristického chování v elektromagnetickém poli.

2.3.1.1 Kvadrupólový filtr

Tento typ analyzátoru využívá oscilující elektrické pole, tvořené soustavou čtyř paralelně uspořádaných elektrod. Tvar tohoto pole je funkcí geometrického uspořádání elektrod a velikostí střídavého a stejnosměrného proudu (potenciálu). Změnou potenciálu těchto elektrod lze selektivně propouštět ionty na základě jejich poměru hmotnosti a náboje. Jiným způsobem uspořádání je např. trojnásobný kvadrupól. Trojnásobné kvadrupólové hmotnostní spektrometry jsou uspořádány jako tři po sobě jdoucí kvadrupóly. První se chová jako hmotnostní filtr, druhý působí jako kolizní cela, kde jsou vybrané ionty rozděleny do fragmentů, které jsou následně analyzovány třetím kvadrupólem.

2.3.1.2 TOF analyzátor

Principem je separace iontů na základě času, který potřebují pro průlet z místa zdroje až po detektor. V počátku jejich vzniku nabývají ionty totožné hodnoty kinetické energie, rychlost průletu je poté úměrná poměru hmotnosti a náboje separovaných iontů. Výhodou této metody je, že poměr hmotnosti a náboje separovaných iontů není pro tuto metodu shora nijak omezen.

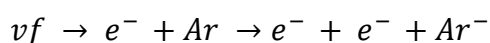
K dalším typům analyzátorů patří také např. 3D kvadrupólové pasti (3D QIT), lineární kvadrupólové pasti (LIT) nebo hmotnostní spektrometrie s Fourierovou transformací (FTMS).^{24,25}

2.4 Indukčně vázané plazma

Indukčně vázané plazma je v chemické analýze známo již po několik desetiletí a zpočátku bylo využíváno pouze jako budící zdroj či jako atomizátor. První užití plazmy jako ionizátoru bylo popsáno již v roce 1975.²⁶

2.4.1 Princip výboje

V ICP výboji získávají volné elektrony energii z vnějšího zdroje, tj. z νf elektromagnetického pole indukční cívky. Výboj je iniciován ionizací jiskrovým výbojem z Teslova transformátoru. Uvolněné elektrony jsou urychlovány νf elektromagnetickým polem a způsobují další lavinovitou ionizaci pracovního plynu. Přednostně dochází k ionizaci do prvního stupně. Tento děj lze vyjádřit rovnicí:



Ionizovaný plyn dále postupuje tzv. *plazmovou hlavici* a v prostoru indukční cívky se třemi až šesti závity začne fungovat jako sekundární vinutí transformátoru. Vzniklý proud zahřeje proudící plyn a převede ho na vodivé plazma, které je tímto proudem dále udržováno. Vytvořené plazma má kapkovitý tvar. Při vhodné kombinaci rozměrů plazmové hlavice lze poté jeho středem prorazit kanál o velikosti 3-4 mm, do něž lze zavést aerosol a vznikne plazma prstencového tvaru. Středem prstence lze vést analytický kanál vytvořený proudem nosného plynu se vzorkem.²⁶

2.4.2 Generátory ICP

Generátor dodává výboji energii potřebnou k vykonání ionizační práce. Skládá se ze zdroje stejnosměrného napětí, νf oscilátoru a obvodu impedančního přizpůsobení s indukční cívkou pro generování ICP.

Frekvence ICP generátoru určuje do značné míry vlastnosti výboje a současně i např. hodnoty mezí detekce.

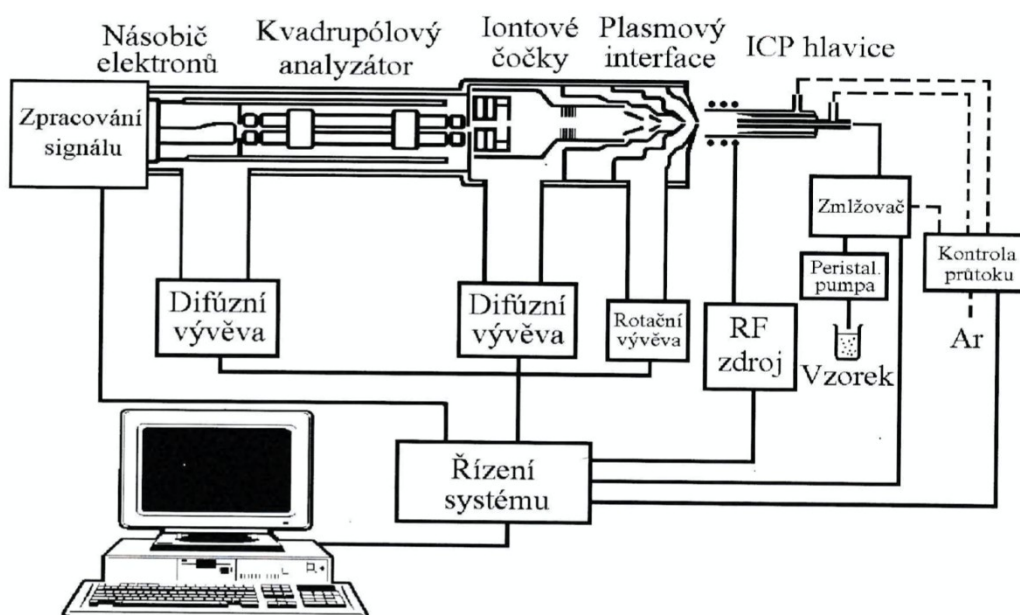
V počátcích byly používány výhradně generátory elektronkové, ale v poslední desetiletí převládají polovodičové.²⁶

2.5 ICP-MS

Ve spojení s hmotnostním spektrometrem byla na svém počátku technika založena na kvadrupólových hmotnostních analyzátoch s nízkým hmotnostním rozlišením. Teprve až s příchodem pokročilejšího zařízení jako např. ICP v kombinaci se sektorovým analyzátoem v MS došlo k výraznému zlepšení rozlišení i mezí detekce.²⁷ Problém s interferencemi způsobenými vysokými koncentracemi solí, které mohou výrazně zkreslit výsledky stanovení, je v současné době největší otázkou v oblasti problematiky měření touto metodou.²⁸

2.5.1 Instrumentace ICP-MS

Základní součásti tohoto typu spektrometru jsou: iontový zdroj, zařízení pro přívod vzorku, rozhraní (interface) mezi iontovým zdrojem a hmotnostním spektrometrem, iontová optika, (kolizní cela), analyzátor, detektor, vakuový systém a řídicí jednotka.



Obr. 2.1 – Schéma přístroje ICP-MS s kvadrupólovým analyzátoem²⁶

2.5.2 Omezení ICP-MS

Ve srovnání s ICP-OES je maximální možný obsah rozpuštěného vzorku ve zmlžovaném roztoku nižší, protože do detektoru nevstupují fotony, ale ionty.

V ICP-MS lze zmlžovat roztoky s obsahem solí pouze v rozmezí 0,1 – 0,3 % m/m. Tendence solí usazovat se v otvoru na vstupní cloně rozhraní ICP/hmotnostní spektrometr

vede ke změně jeho průměru, což se projevuje driftem signálu. Současně dochází k opotřebení částí v důsledku koroze.²⁶

2.5.3 Interference u ICP-MS

Spektrální interference, které se vyskytují zejména u m/z 40-80, lze řešit použitím MS s dostatečným rozlišením, volbou jiného izotopu, kolizní/reakční celou, korekčními rovnicemi nebo uspořádáním QQQ.

Polyatomické interference jsou způsobeny kombinacemi dvou nebo více iontů. Souvisejí velmi často s použitým nosným plynem, kyslíkem či dusíkem rozpuštěných v roztocích vzorku a s použitím matričních kyselin (HCl, HClO₄, H₂SO₄, ...). Polyatomické interference způsobené např. ionty Cl⁺, S⁺, P⁺ spolu s Ar⁺, O⁺, H⁺, lze u kvadrupolových ICP-MS řešit použitím kolizní nebo reakční cely, popř. použitím kyseliny dusičné pro přípravu vzorků.

Interference dvojnásobně nabitých iontů lze minimalizovat nastavením vhodných podmínek v plazmatu.

Interference vlivem matrice při zmlžování a průchodu mlžnou komorou jsou způsobeny rozdílnou viskozitou mezi vzorky a kalibračními standardy a vedou ke snížené efektivitě tvorby aerosolu. Řešením je použití vnitřních standardů nebo tzv. matrix-match kalibrace.

Ionizační vlivy jsou způsobeny vysokou koncentrací prvků IA a IIA skupiny. Řešením je vhodné ředění vzorků, použití matrix-match kalibrace nebo metoda přidavku standardů.²⁹

2.6 Stanovované prvky

2.6.1 Olovo (Pb, lat. Plumbum)

Olovo a jeho sloučeniny mají široké průmyslové využití např. jako součást nátěrových hmot, baterií nebo stavebních materiálů. Mezi dobře známé nerozpustné sloučeniny olova, patří červené olovo (Pb₃O₄), bílé olovo (PbCO₃.Pb(OH)₂). Mezi nejdůležitější rozpustné soli olova řadíme octan olovnatý (Pb(CH₃COO)₂) nebo dusičnan olovnatý (Pb(NO₃)₂).³⁰

Olovo je jeden ze dvou historicky nejstarších člověkem objevených prvků, společně s cínem. Dochované zmínky o používání olova pochází již ze starověkého Egypta (7000-

5000 p.ř.n.l), kdy bylo používáno při glazování skla, později v Římě např. jako vodovodní potrubí.

Olovo se řadí mezi těžké kovy s vysokou toxicitou vůči organismu. Díky své schopnosti vytvářet komplexy s oxo-skupinami ve strukturách enzymů přímo ovlivňuje proces syntézy hemu a metabolismu porfyriu. Typické projevy otravy olovem jsou bolesti hlavy, nevolnost, poškození mozku a nervové soustavy.

Jeho koncentrace v zemské kůře je přibližně 13 ppm. Je to způsobeno i tím, že 3 ze 4 izotopů olova jsou finální stabilní produkty štěpných řetězových reakcí těžších prvků. Nejvýznamnější olověnou rudou je galenit (PbS). Základní charakteristiky olova jsou popsány v tabulce 2.1.³¹

Tab. 2.1 - Základní fyzikálně-chemické vlastnosti olova

Vlastnost	Hodnota
atomové číslo	82
počet přírodních izotopů	4
atomová hmotnost [g/mol]	207,21
elektronová konfigurace	[Xe]4f ¹⁴ 5d ¹⁰ 6s ² 6p ²
oxidační čísla	II, IV
elektronegativita	1,87
teplota tání [°C]	327
teplota varu [°C]	1751
hustota (20 °C) [kg/dm ³]	11,342
měrný elektrický odpor [μΩ.cm]	20

Stanovení olova je důležité především na ultrastopové úrovni. S velkou citlivostí a přibližně 5% přesností lze olovo stanovit některými polarografickými metodami např. *anodickou rozpouštěcí polarografií*. Mezi nejčastěji stanovované patří tetraethylolovo (TEO), využívané jako aditivum ke zvýšení oktanového čísla olova, přičemž valná většina olověných emisí vzniká spalováním takto upraveného benzínu. Velká pozornost je také věnována sledování koncentrace olova v potravinách nebo jeho obsahu ve vodě.³²

2.6.2 Zinek (Zn, lat. Zincum)

Zinek patří k hojněji zastoupeným prvkům v zemské kůře (76 ppm). Mezi jeho hlavní formy výskytu patří rudy sfalerit (ZnS) a kalamín (ZnCO₃). Zinek velmi snadno reaguje s kyslíkem, sírou, fosforem a při zahřívání i s halogeny, ale je velmi inertní vůči

vodíku nebo dusíku. Je velmi silným redukčním činidlem, v neoxidujících kyselinách reaguje za vzniku plynného vodíku. V roztocích alkalických hydroxidů komplexuje za vzniku zinečnanových iontů. Je součástí slitin s dalšími prvky např. mosaz (s Cu). Jeho sloučeniny jsou diamagnetické a bezbarvé. Upřednostňuje tetraedrické komplexy. Vyznačuje se nízkou teplotou varu a tání.

Zinek je jeden z nejdůležitějších a nezbytných prvků pro kteroukoliv formu života. Je součástí některých enzymů jako kofaktor, např. karboxypeptidasa A štěpící N-koncovou peptidickou vazbu. Základní charakteristiky zinku jsou popsány v Tab. 2.2.³¹

Tab. 2.2 - Základní fyzikálně-chemické vlastnosti zinku

Vlastnost	Hodnota
atomové číslo	30
počet přírodních izotopů	5
atomová hmotnost [g/mol]	65,38
elektronová konfigurace	[Ar]3d ¹⁰ 4s ²
oxidační čísla	0, I, II
elektronegativita	1,6
teplota tání [°C]	419,5
teplota varu [°C]	907
hustota (20 °C) [kg/dm ³]	7,14
měrný elektrický odpor [μΩ.cm]	5,8

Zinek je také využíván při výrobě farmaceutik nebo bílého pigmentu (zinková běloba). Hojně je využíván jako příměs pro výrobu mosazi nebo při galvanickém pokovování. Mimo jiné se také využívá jako příměs do skel, glazur, emailů či jiných nátěrů.

Chlorid zinečnatý (ZnCl₂) se používá jako tavidlo při pájení, při výrobě suchých článků nebo jako součást zubního cementu. Chlorid zinečnatý je silné emetikum, proto je téměř nemožné se otrávit požitím, ovšem jeho páry jsou velmi škodlivé. Mezi příznaky otravy patří horečka, malátnost, plicní edém.³⁰

3 EXPERIMENTÁLNÍ ČÁST

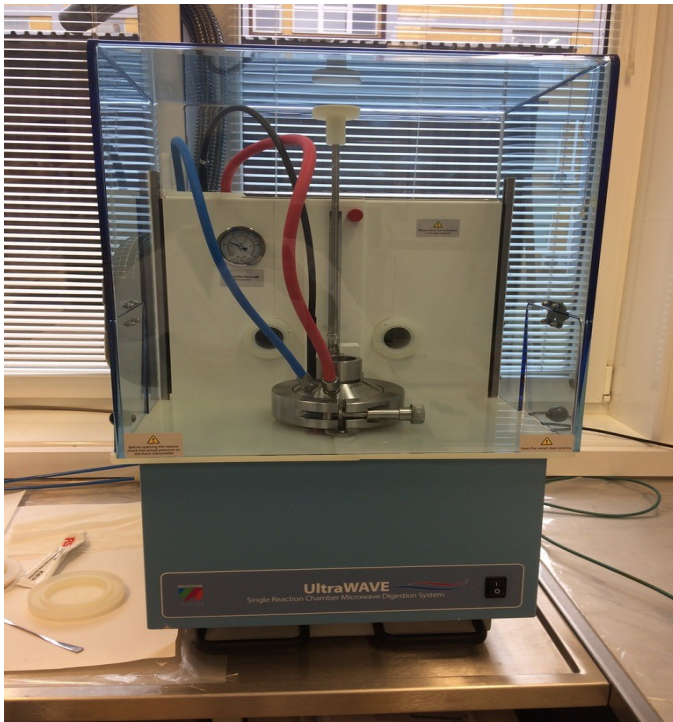
3.1 Používané chemikálie a materiál

- standardní roztok Ca^{2+} o koncentraci 1 mg/ml v kyselině chlorovodíkové (BDH Chemicals Ltd., UAE)
- standardní roztok As^{3+} o koncentraci 1 mg/ml v kyselině dusičné (Sigma-Aldrich, Germany)
- standardní roztok Cd^{2+} o koncentraci 1 mg/ml v kyselině dusičné (Analytika, spol. s.r.o.)
- standardní roztok Zn^{2+} o koncentraci 1 mg/ml v kyselině dusičné (Analytika, spol. s.r.o.)
- standardní roztok Pb^{2+} o koncentraci 1 mg/ml v kyselině dusičné (Analytika, spol. s.r.o.)
- standardní roztok Ni^{2+} o koncentraci 1 mg/ml v kyselině chlorovodíkové (Analytika, spol. s.r.o.)
- standardní roztok Cu^{2+} o koncentraci 1 mg/ml v kyselině chlorovodíkové (Analytika, spol. s.r.o.)
- certifikovaný referenční materiál stopových prvků v plné krvi Seronorm 1406264 L-2 Trace Elements Whole Blood (Sero, Norsko)
- kyselina dusičná, semiconductor grade, (Honeywell, USA), 65%
- peroxid vodíku, p.a.+, (Analytika, spol. s.r.o.), 30 %
- deionizovaná voda připravená zařízením Watrex Ultrapur (Watrex, USA)
- křemenné zkumavky s teflonovým víčkem
- PE zkumavky (15 ml) s víčkem

3.2 Použité přístroje a zařízení

UltraWAVE - single reaction chamber microwave digestion system (Milestone, Italy)

Zařízení UltraWAVE (viz. Obr. 3.1) bylo použito pro rozklad vzorků sušené krve. Přístroj využívá mikrovlnné zahřívání za vysokého tlaku.³³



Obr. 3.1 – Milestone UltraWAVE, fotografie pořízená v laboratoři

8900 Triple Quadrupole ICP-MS (Agilent, USA)

Přístroj 8900 ICP-MS Triple Quad (Agilent Technologies, USA) s automatickým dávkovačem vzorků SPS 4 Autosampler a ISIS 3 dávkovacím zařízením (viz. Obr. 3.2) byl použit k ultrastopové analýze prvků. Dále byl tento systém vybaven řídicím počítačem s přístrojovým software k vyhodnocení dat. Přístroj, kromě běžných nastavení, umí pracovat i v MS/MS módu, který účinně eliminuje vliv interferencí matrice. V současnosti jde o jeden z nejmodernějších přístrojů umožňující multiprvkovou ultrastopovou analýzu.



Obr. 3.2 - Agilent 8900 Triple Quadrupole ICP-MS³⁴

3.3 Charakteristika vzorků

V rámci této bakalářské proběhla analýza vybraných stopových prvků v krvi sýkor koňader. Vzorky byly uchovány v podobě sušiny uzavřené v plastových mikrozkušavkách, označeny sériovým číslem a datem odběru.

Limitujícím faktorem stanovení je množství vzorku krve dodaného k analýze, což souvisí s objemem krve, který lze zvířeti odebrat (<500 μ l). Z toho důvodu je obtížné vzorek použít ke stanovení důležitých markerů zdravotního stavu a chemických reziduí.³⁵

3.4 Pracovní postup

3.4.1 Příprava vzorků k analýze

Předložené vzorky sušiny krve v plastových mikrozkušavkách bylo potřeba nejprve zvážit s přesností na 0,01 mg. Celková hmotnost vzorku byla stanovena nepřímou.

Zvážené vzorky byly kvantitativně převedeny do křemenných zkumavek přidáním nejprve 1 ml koncentrované HNO_3 a poté 1 ml deionizované vody. Těsně před samotným rozkladem bylo přidáno 500 μ l 30% H_2O_2 . Zkušavky byly uzavřeny teflonovými víčky.

V každé sérii byly připraveny nejméně dva slepé vzorky (blanky) tvořené pouze rozpouštědly. Kontrolní vzorky byly připraveny pipetováním 950 μ l Seronorm 1406264 L-2 a rozpuštěny stejným způsobem.

Připravené vzorky byly rozloženy v sériích po 15-ti a doba trvání jednoho rozkladu byla 45 minut včetně chladnutí reakční komory. Rozklad probíhal při limitní hodnotě výkonu 1500 W se vstupním tlakem 40 bar a maximální teplota byla nastavena na 240 °C. Příklad grafického průběhu rozkladu je na obrázku 3.3.



Obr. 3.3 – Grafický průběh rozkladného procesu, fotografie pořízená v laboratoři

Rozložené vzorky byly následně převedeny do PE zkuševok a zředěny deionizovanou vodou na konečný objem 10 ml.

3.4.2 Příprava kalibračních standardů

Výhodou techniky ICP-MS je možnost simultánního stanovení několika prvků. K vytvoření kalibrační řady byly použity zásobní standardní roztoky stanovovaných prvků, které byly použity k vytvoření směšného standardu č. 1 (viz. Tab. 3.1).

Tab. 3.1 – Schéma přípravy směsného standardu č. 1

Prvek	Cílová koncentrace [mg/l]	Objem zásobního standardu [ml]	Navážka zásobního standardu [g]	Finální objem [ml]
Pb	5,0	0,5	0,5108	100
As	2,5	0,25	0,2579	
Cd	1,0	0,1	0,0972	
Zn	0	0	0	
Ca	0	0	0	
Ni	2,5	0,25	0,2513	
Cu	25	2,5	2,4902	

- před zředěním bylo přidáno 1,1 ml konc. HNO₃

Z vytvořeného směsného standardu č. 1 byl dále vytvořen směsný standard č. 2 (viz. Tab. 3.2).

Tab. 3.2 – Schéma přípravy směsného standardu č. 2

Prvek	Cílová koncentrace [µg/l]	Objem zásobního standardu [ml]	Navážka zásobního standardu [g]	Finální objem [ml]
Pb	50	0,5 (ze st. č. 1)	0,5016	50
As	25	0,5 (ze st. č. 1)	0,5016	
Cd	10	0,5 (ze st. č. 1)	0,5016	
Zn	1500	0,075	0,0706	
Ca	1500	0,075	0,0711	
Ni	25	0,5 (ze st. č. 1)	0,5016	
Cu	250	0,5 (ze st. č. 1)	0,5016	

- před zředěním bylo přidáno 5,0 ml konc. HNO₃

Konečná kalibrační řada pro jednotlivé prvky byla připravena ze směsného standardu č. 2. Připraveno bylo 5 kalibračních roztoků o známé koncentraci prvků (viz. Tab. 3.3–3.7). Směsný standard č. 2 byl použit jako 6. kalibrační roztok.

Tab. 3.3 – Schéma přípravy kalibračního roztoku č. 1

Prvek	Cílová koncentrace [µg/l]	Objem zásobního standardu [ml]	Navážka zásobního standardu [g]	Finální objem [ml]
Zn	0			
Ca	0			
Cu	0			
Pb	0	-	-	50
As	0			
Ni	0			
Cd	0			

- před zředěním přidáno 5,0 ml konc. HNO₃

Tab. 3.4 – Schéma přípravy kalibračního roztoku č. 2

Prvek	Cílová koncentrace [µg/l]	Objem zásobního standardu [ml]	Navážka zásobního standardu [g]	Finální objem [ml]
Zn	3,0			
Ca	3,0			
Cu	0,50			
Pb	0,10	0,10	0,1054	50
As	0,05			
Ni	0,05			
Cd	0,02			

- před zředěním přidáno 5,0 ml konc. HNO₃

Tab. 3.5 – Schéma přípravy kalibračního roztoku č. 3

Prvek	Cílová koncentrace [µg/l]	Objem zásobního standardu [ml]	Navážka zásobního standardu [g]	Finální objem [ml]
Zn	12			
Ca	12			
Cu	2,0			
Pb	0,40	0,40	0,4181	50
As	0,20			
Ni	0,20			
Cd	0,08			

- před zředěním přidáno 5,0 ml konc. HNO₃

Tab. 3.6 – Schéma přípravy kalibračního roztoku č. 4

Prvek	Cílová koncentrace [µg/l]	Objem zásobního standardu [ml]	Navážka zásobního standardu [g]	Finální objem [ml]
Zn	60			
Ca	60			
Cu	10			
Pb	2,0	2,0	2,1279	50
As	1,0			
Ni	1,0			
Cd	0,40			

- před zředěním přidáno 5,0 ml konc. HNO₃

Tab. 3.7 – Schéma přípravy kalibračního roztoku č. 5

Prvek	Cílová koncentrace [µg/l]	Objem zásobního standardu [ml]	Navážka zásobního standardu [g]	Finální objem [ml]
Zn	300			
Ca	300			
Cu	50			
Pb	10	10	10,5013	50
As	5,0			
Ni	5,0			
Cd	2,0			

- před zředěním přidáno 4,0 ml konc. HNO₃

3.4.3 Optimalizace přístroje ICP-MS

Před samotnou analýzou je potřeba zařízení vyčistit od nečistot z předchozích měření, zkontrolovat funkčnost jednotlivých částí přístroje a případně provést jejich výměnu podle návodu k obsluze. K běžnému chodu přístroje již byly k dispozici roztoky, jejichž příprava je popsána dále.

- **Čistící roztoky pro ICP-MS**
 - **HNO₃ 2%** (11,1 ml HNO₃ (Honeywell, USA) 65% do 500 ml PE lahve)
 - **HNO₃ 0,2%** (1,1 ml HNO₃ (Honeywell, USA) 65% do 500 ml PE lahve)
 - **HNO₃ 2% + HCl 2%** (11,1 ml HNO₃ (Honeywell, USA) 65% + 29 ml HCl (Merck Suprapur 30%) do 500 ml PE lahve)

- **Ladicí roztok s As (1ppb Ce, Co, Li, Mg, Tl + 10 ppb As) v 2% HNO₃**
 - 0,1 ml koncentrovaného ladicího roztoku (tj. 1ppm **Ce, Co, Li, Mg, Tl** + 10 ppm **As**) Tuning solution concentrate (Analytika, spol. s.r.o.) ve 100 ml 2% **HNO₃** (Honeywell, USA)

- **Univerzální roztok interních standardů pro zmlžování ICP-MS (5 ppb Rh a 20 ppb Ge) ve 2% HNO₃**
 - připraven z 1000 ppm zásobních standardů **Rh** a **Ge** (Analytika, spol. s.r.o.) ve 100 ml 2% **HNO₃** (Honeywell, USA)

3.4.4 Parametry přístroje

Tab. 3.8 - Nastavené parametry přístroje ICP-MS

Výkon	1550 W
Hloubka vzorkování	8 mm
Průtok Ar pro zmlžování	0,6 l/min
Průtok ředicího plynu Ar	0,53 l/min
Rychlost peristaltického čerpadla	0,1 rps (0,35 ml/min nosič, 0,07 ml/min interní standard)
Teplota mlžné komory	2 °C
Mód kolizní cely (průtok plynu)	no gas mód (0 ml/min); He mód (4,8 ml/min)
Měřené izotopy	⁶⁶ Zn; ²⁰⁸ Pb (+ ²⁰⁶ Pb+ ²⁰⁷ Pb), ⁷² Ge (interní standard), ¹⁰³ Rh (interní standard)

Izotop olova ²⁰⁸Pb byl měřen v módu bez přídavku plynu do kolizní cely i s celou (He 4,8 ml/min). Kvůli možnosti nestejného izotopového zastoupení pro Pb v reálných vzorcích byly také měřeny ještě izotopy ²⁰⁶Pb a ²⁰⁷Pb a výsledná intenzita pro Pb byla dána

součtem izotopů $^{206+207+208}\text{Pb}$. Zinek byl měřen jako ^{66}Zn i ^{68}Zn pro kontrolu v módu s He do kolizní cely (He 4,8 ml/min). Nebyl pozorován žádný rozdíl mezi výsledky pro ^{66}Zn i ^{68}Zn , a proto jsou prezentována jen data pro ^{66}Zn . Rhodium (5 ng/ml) a germanium (20 ng/ml) v 1% HNO_3 byly použity jako interní standard pro korekci změn citlivosti. Rhodium (izotop ^{103}Rh) bylo použito pro korekci měřených intenzit ^{208}Pb a germanium (^{72}Ge) pro ^{66}Zn .

3.4.5 Statistické zpracování výsledků

Součástí vyhodnocování a prezentace výsledků experimentální části je také jejich statistické zpracování. Cílem je pomocí statistických metod získat objektivní závěr o celku proměřením vybraných částí tohoto celku.

Medián (označován **Me** nebo \tilde{x}) je hodnota, jež dělí řadu vzestupně seřazených výsledků na dvě stejně početné poloviny. K určení mediánu souboru hodnot stačí hodnoty seřadit podle velikosti a určit střední hodnotu.

Aritmetický průměr (označován jako \bar{x}) je statistická veličina charakterizující typickou hodnotu souboru mnoha hodnot (obvykle ≥ 7). Definován je jako součet všech hodnot vydělený jejich počtem.

$$\bar{x} = \frac{1}{n} \sum_{i=1}^n x_i$$

Směrodatná odchylka (SD) definovaná jako odmocnina z rozptylu vydělená celkovým počtem měření bez jedné.

$$SD = \sqrt{\frac{1}{N-1} \sum_{i=1}^N (x_i - \bar{x})^2}$$

kde je N počet měření, \sum je součet hodnot a x_i je naměřený výsledek.

Mez detekce (LOD) je definovaná jako nejnižší koncentrace analytu ve vzorku, která lze detekovat a odlišit od analytického šumu. Vypočítá se jako trojnásobek směrodatné odchylky šumu základní linie / citlivost analytické metody:

$$LOD = 3.s/\text{citlivost}$$

kde s , je směrodatná odchylka, která byla vypočtena pomocí velkého počtu rozkladných blanků.

Mez stanovitelnosti (LOQ) definovaná jako nejnižší naměřená koncentrace analytu ve vzorku, při níž může být analyt stanoven. Vypočítá se jako desetinásobek směrodatné odchylky šumu základní linie / citlivost analytické metody:

$$LOQ = 10 \cdot s / \text{citlivost}$$

kde s , je směrodatná odchylka, která byla vypočtena pomocí velkého počtu rozkladných blanků.

Opakovatelnost (O), též známá jako variační koeficient, je definovaná jako rozptyl dat skupin měření stejné proměnné s různým průměrem. Je charakterizována relativní směrodatnou odchylkou velké počtu rozkladných blanků: ³⁶

$$O = \frac{S}{\bar{x}} \times 100\%$$

Výtěžnost (recovery) udává míru ovlivnění výsledku měření vlivem matrice. Vypočítá se jako poměr směrnice standardního přídatku a směrnice vodné kalibrace.

4 VÝSLEDKOVÁ ČÁST A DISKUZE

Celý projekt zahrnoval stanovení širokého spektra prvků v předložených vzorcích. Rozsah této bakalářské práce zahrnuje vyhodnocení pouze vybraných prvků, a to zinku a olova.

4.1 Kalibrace metody ICP-MS

Prvotním úkonem analýzy bylo měření připravených kalibračních roztoků standardů v daném koncentračním rozpětí a interních standardů. Všechny roztoky kalibračních standardů byly měřeny opakovaně po změření 5-ti sérií rozkladů vzorků. Kontinuální měření hodnot intenzit signálů interních standardů posloužilo ke korekcím na drift citlivosti přístroje či pro korekci případných nespektrálních interferencí daných vlivem matrice vzorku. Každý vzorek byl proměřen 5x a hodnoty byly zprůměrovány.

4.1.1 Stanovení LOD a LOQ

Z hodnot odezvy signálu rozkladných blanků byly vypočteny hodnoty mezí detekce a stanovitelnosti pro každý měřicí den (sérii měření), způsob výpočtu popsán v pododdíle 3.5.5.

Tab. 4.1 – Stanovené meze detekce a stanovitelnosti (ng/ml)

	Zn	Pb
LOD v kapalném vzorku (1. série měření)	1,8	0,015
LOQ v kapalném vzorku (1. série měření)	6,1	0,05
LOD v kapalném vzorku (2. série měření)	2,1	0,009
LOQ v kapalném vzorku (2. série měření)	7,0	0,03

4.2 Ověření správnosti

4.2.1 Certifikovaný referenční materiál

K ověření správnosti analýzy byl v průběhu analýzy měřen i certifikovaný vzorek krve s certifikovanou hodnotou koncentrace stopových prvků. Vzorky CRM byly v obou sériích změřeny v triplicátech, každý 5x a výsledky byly statisticky zpracovány.

Tab. 4.2 – Zastoupení stopových prvků v CRM

CRM	Seronorm 1406264 Trace Elements Whole Blood L-2			
Zn	Stanovená hodnota v 1. sérii	7,29	± 0,08	mg/l
	Stanovená hodnota v 2. sérii	7,14	± 0,14	mg/l
	Certifikovaná hodnota	7,1	± 1,4	mg/l
Pb	Stanovená hodnota v 1. sérii	347	± 7	µg/l
	Stanovená hodnota v 2. sérii	319	± 1	µg/l
	Certifikovaná hodnota	337	± 68	µg/l

Z výsledků vyplývá, že zjištěné hodnoty pro oba prvky se nacházejí v doporučeném certifikovaném rozmezí.

4.2.2 Stanovení výtěžnosti

Míru ovlivnění citlivosti metody nespektrálními interferencemi od matrice rozloženého vzorku lze vyjádřit výtěžností, tedy poměrem směrnice závislosti měřené intenzity signálu na koncentraci standardního přídatku prvku k referenčnímu materiálu a směrnice vodního kalibrace.

4.2.2.1 Výtěžnost stanovení zinku

Tab. 4.3 – Vodná kalibrace pro Zn

Koncentrace (µg/l)	CPS	SD	RSD (%)
0,00	3203	235	7
2,81	15664	762	5
11,15	52801	2738	5
56,83	253757	13036	5
280,61	1207895	55798	5
1392,44	5920174	269219	5

Tab. 4.4 – Kalibrace pro Zn metodou standardního přídatku

Koncentrace (µg/l)	CPS	SD
0	2886491	128943,3
631,3024	5636124	289452,9
1466,853	8947049	427789,5

Tab. 4.5 – Výtěžnost stanovení Zn

Směrnice vodné kalibrace (CPS.l/μg)	4251,33
Směrnice kalibrace stand. příd. (CPS.l/μg)	4166,65
Výtěžnost	98,0 % ± 2,6 %

4.2.2.2 Výtěžnost stanovení olova**Tab. 4.6 – Vodná kalibrace pro Pb**

Koncentrace (μg/l)	CPS	SD	RSD (%)
0,00	3427	272	8
0,10	69359	3057	4
0,40	173845	3798	2
2,06	855693	20031	2
10,15	4348175	107854	2
50,35	21319179	714911	3

Tab. 4.7 – Kalibrace pro Pb metodou standardního přidavku

Koncentrace (μg/l)	CPS	SD
0	12718445	313578
24,32747	22805232	1336447
46,77464	31025538	819659

Tab. 4.8 – Výtěžnost stanovení Pb

Směrnice vodné kalibrace (CPS.l/μg)	423517
Směrnice kalibrace stand. příd. (CPS.l/μg)	396337
Výtěžnost	93,6 % ± 3,3 %

Z vypočtených hodnot výtěžnosti pro jednotlivé prvky lze konstatovat, že ovlivnění výsledku vlivem matrice není závažné a k vyhodnocení lze bez obav použít externích vodných kalibrací.

4.3 Analýza vzorků ptačí krve

Celkem bylo rozloženo a připraveno k analýze 495 vzorků ptačí krve. Měření proběhlo ve dvou sériích, změřeno bylo 38 sad po 15ti vzorcích. Každý vzorek byl proměřen 5x a statisticky zpracován. V každé sérii byly také proměřeny minimálně 2 blanky. Výsledky měřených koncentrací byly korigovány na průměr koncentrací

v rozkladných blancích v každé sérii. Záporná hmotnost některých vzorků, vzhledem k jejich malému původnímu obsahu, znemožnila jejich stanovení a byly vyřazeny. Stejně tak bylo naloženo se vzorky, jež poskytly odezvy pod LOD.

Výsledky měření jsou zaznamenány v příloze (viz. Tab. 4.9). Hodnoty jsou vyjádřené v jednotkách $\mu\text{g/g}$ (mikrogram/gram) suché krve pro Zn a ng/g pro Pb, tzn. po přepočtu koncentrace, která byla v ng/ml v kapalném vzorku po rozkladu, na navážku a objem kap. vzorku (10 ml).

5 ZÁVĚR

Cílem práce bylo stanovení olova a zinku v předložených vzorcích sušené krve sýkor koňader metodou hmotnostní spektrometrie s indukčně vázaným plazmatem.

Pro splnění cíle bylo potřeba vzorky efektivně rozložit pomocí přístroje UltraWAVE a převést do roztoku. Před samotnou analýzou byla připravena řada kalibračních standardů pro stanovované prvky. Možnost ovlivnění správnosti výsledků složkami matrice jsme vyvrátili analýzou certifikovaného referenčního materiálu plné krve, podle níž jsme určili výtěžnost stanovení prvků. Potvrdili jsme tak správnost použití vodné kalibrace.

Pomocí přístroje Agilent 8900 Triple Quadrupole ICP-MS byla stanovena koncentrace vybraných prvků v předložených vzorcích. Výsledky prokázaly vhodnost této metody pro stanovení kovů ve vzorcích krve. Výsledky analýzy mohou být poskytnuty k dalšímu výzkumu v oblasti monitoringu kvality životního prostředí.

Lze konstatovat, že hlavní cíl bakalářské práce byl splněn.

6 POUŽITÁ LITERATURA

- (1) Frantz, A.; Pottier, M.-A.; Karimi, B.; Corbel, H.; Aubry, E.; Haussy, C.; Gasparini, J.; Castrec-Rouelle, M. Contrasting Levels of Heavy Metals in the Feathers of Urban Pigeons from Close Habitats Suggest Limited Movements at a Restricted Scale. *Environmental Pollution* **2012**, *168*, 23–28. <https://doi.org/10.1016/j.envpol.2012.04.003>.
- (2) Scheifler, R.; Cœurduassier, M.; Morilhat, C.; Bernard, N.; Faivre, B.; Flicoteaux, P.; Giraudoux, P.; Noël, M.; Piotte, P.; Rieffel, D.; et al. Lead Concentrations in Feathers and Blood of Common Blackbirds (*Turdus Merula*) and in Earthworms Inhabiting Unpolluted and Moderately Polluted Urban Areas. *Science of The Total Environment* **2006**, *371* (1), 197–205. <https://doi.org/10.1016/j.scitotenv.2006.09.011>.
- (3) Plaza, P. I.; Uhart, M.; Caselli, A.; Wiemeyer, G.; Lambertucci, S. A. A Review of Lead Contamination in South American Birds: The Need for More Research and Policy Changes. *Perspectives in Ecology and Conservation* **2018**, *16* (4), 201–207. <https://doi.org/10.1016/j.pecon.2018.08.001>.
- (4) Abbasi, N. A.; Khan, M. U.; Jaspers, V. L. B.; Chaudhry, M. J. I.; Malik, R. N. Spatial and Interspecific Variation of Accumulated Trace Metals between Remote and Urbane Dwelling Birds of Pakistan. *Ecotoxicology and Environmental Safety* **2015**, *113*, 279–286. <https://doi.org/10.1016/j.ecoenv.2014.11.034>.
- (5) Eens, M.; Pinxten, R.; Verheyen, R. F.; Blust, R.; Bervoets, L. Great and Blue Tits as Indicators of Heavy Metal Contamination in Terrestrial Ecosystems. *Ecotoxicology and Environmental Safety* **1999**, *44* (1), 81–85. <https://doi.org/10.1006/eesa.1999.1828>.
- (6) Berglund, Å. M. M. Evaluating Blood and Excrement as Bioindicators for Metal Accumulation in Birds. *Environmental Pollution* **2018**, *233*, 1198–1206. <https://doi.org/10.1016/j.envpol.2017.10.031>.
- (7) Ishii, C.; Nakayama, S. M. M.; Kataba, A.; Ikenaka, Y.; Saito, K.; Watanabe, Y.; Makino, Y.; Matsukawa, T.; Kubota, A.; Yokoyama, K.; et al. Characterization and Imaging of Lead Distribution in Bones of Lead-Exposed Birds by ICP-MS and LA-ICP-MS. *Chemosphere* **2018**, *212*, 994–1001. <https://doi.org/10.1016/j.chemosphere.2018.08.149>.
- (8) Picone, M.; Corami, F.; Gaetan, C.; Basso, M.; Battiston, A.; Panzarin, L.; Volpi Ghirardini, A. Accumulation of Trace Elements in Feathers of the Kentish Plover *Charadrius Alexandrinus*. *Ecotoxicology and Environmental Safety* **2019**, *179*, 62–70. <https://doi.org/10.1016/j.ecoenv.2019.04.051>.
- (9) Fenstad, A. A.; Bustnes, J. O.; Lierhagen, S.; Gabrielsen, K. M.; Öst, M.; Jaatinen, K.; Hanssen, S. A.; Moe, B.; Jenssen, B. M.; Krøkje, Å. Blood and Feather Concentrations of Toxic Elements in a Baltic and an Arctic Seabird Population. *Marine Pollution Bulletin* **2017**, *114* (2), 1152–1158. <https://doi.org/10.1016/j.marpolbul.2016.10.034>.
- (10) Kahle, S.; Becker, P. H. Bird Blood as Bioindicator for Mercury in the Environment. *Chemosphere* **1999**, *39* (14), 2451–2457. [https://doi.org/10.1016/S0045-6535\(99\)00154-X](https://doi.org/10.1016/S0045-6535(99)00154-X).
- (11) Costa, R. A.; Eeva, T.; Eira, C.; Vaqueiro, J.; Medina, P.; Vingada, J. V. Great Tits Breeding Performance and Mercury Contamination from the Paper and Pulp Industry in the West Coast of Portugal. *Chemistry and Ecology* **2014**, *30* (3), 206–215. <https://doi.org/10.1080/02757540.2013.856891>.
- (12) Rutkowska, M.; Płotka-Wasyłka, J.; Lubinska-Szczygeł, M.; Róžańska, A.; Możejko-Ciesielska, J.; Namieśnik, J. Birds' Feathers – Suitable Samples for Determination of Environmental Pollutants. *TrAC Trends in Analytical Chemistry* **2018**, *109*, 97–115. <https://doi.org/10.1016/j.trac.2018.09.022>.
- (13) Dauwe, T.; Bervoets, L.; Blust, R.; Eens, M. Tissue Levels of Lead in Experimentally Exposed Zebra Finches (*Taeniopygia Guttata*) with Particular Attention on the Use of Feathers as Biomonitoring. *Arch. Environ. Contam. Toxicol.* **2002**, *42* (1), 88–92. <https://doi.org/10.1007/s002440010295>.
- (14) Geens, A.; Dauwe, T.; Bervoets, L.; Blust, R.; Eens, M. Haematological Status of Wintering Great Tits (*Parus Major*) along a Metal Pollution Gradient. *Science of The Total Environment* **2010**, *408* (5), 1174–1179. <https://doi.org/10.1016/j.scitotenv.2009.11.029>.
- (15) Bianchi, N.; Ancora, S.; di Fazio, N.; Leonzio, C. Cadmium, Lead, and Mercury Levels in Feathers of Small Passerine Birds: Noninvasive Sampling Strategy. *Environmental Toxicology and Chemistry* **2008**, *27* (10), 2064–2070. <https://doi.org/10.1897/07-403.1>.
- (16) Bailly, J.; Scheifler, R.; Belvalette, M.; Garnier, S.; Boissier, E.; Clément-Demange, V.-A.; Gête, M.; Leblond, M.; Pasteur, B.; Piget, Q.; et al. Negative Impact of Urban Habitat on Immunity in the Great Tit *Parus Major*. *Oecologia* **2016**, *182* (4), 1053–1062. <https://doi.org/10.1007/s00442-016-3730-2>.
- (17) Bauerová, P.; Vinklerová, J.; Hraníček, J.; Čorba, V.; Vojtek, L.; Svobodová, J.; Vinkler, M.

- Associations of Urban Environmental Pollution with Health-Related Physiological Traits in a Free-Living Bird Species. *Sci. Total Environ.* **2017**, 601–602, 1556–1565. <https://doi.org/10.1016/j.scitotenv.2017.05.276>.
- (18) Ruiz, S. R.; Espín, S.; Sánchez-Virosta, P.; Salminen, J.-P.; Lilley, T. M.; Eeva, T. Vitamin Profiles in Two Free-Living Passerine Birds under a Metal Pollution Gradient – A Calcium Supplementation Experiment. *Ecotoxicology and Environmental Safety* **2017**, 138, 242–252. <https://doi.org/10.1016/j.ecoenv.2016.12.037>.
- (19) Tsipoura, N.; Burger, J.; Feltes, R.; Yacabucci, J.; Mizrahi, D.; Jeitner, C.; Gochfeld, M. Metal Concentrations in Three Species of Passerine Birds Breeding in the Hackensack Meadowlands of New Jersey. *Environmental Research* **2008**, 107 (2), 218–228. <https://doi.org/10.1016/j.envres.2007.11.003>.
- (20) Vallverdú-Coll, N.; Mateo, R.; Mougeot, F.; Ortiz-Santaliestra, M. E. Immunotoxic Effects of Lead on Birds. *Science of The Total Environment* **2019**, 689, 505–515. <https://doi.org/10.1016/j.scitotenv.2019.06.251>.
- (21) Eeva, T.; Ahola, M.; Lehtikoinen, E. Breeding Performance of Blue Tits (*Cyanistes Caeruleus*) and Great Tits (*Parus Major*) in a Heavy Metal Polluted Area. *Environmental Pollution* **2009**, 157 (11), 3126–3131. <https://doi.org/10.1016/j.envpol.2009.05.040>.
- (22) *Analytical Chemistry: A Modern Approach to Analytical Science*, 2nd ed.; Mermet, J.-M., Otto, M., Valcárcel Cases, M., Eds.; Wiley-VCH: Weinheim; [Great Britain], 2004.
- (23) *Handbook of Spectroscopy*; Vo-Dinh, T., Gauglitz, G., Eds.; Wiley-VCH: Weinheim; [Cambridge], 2003.
- (24) Watson, J. T.; Sparkman, O. D. *Introduction to Mass Spectrometry: Instrumentation, Applications and Strategies for Data Interpretation*, 4th ed.; John Wiley & Sons: Chichester, England; Hoboken, NJ, 2007.
- (25) March, R. E. Quadrupole Ion Trap Mass Spectrometry: A View at the Turn of the Century. *International Journal of Mass Spectrometry* **2000**, 200 (1), 285–312. [https://doi.org/10.1016/S1387-3806\(00\)00345-6](https://doi.org/10.1016/S1387-3806(00)00345-6).
- (26) Otruba, V.; Spektroskopická společnost Jana Marka Marci; Masarykova univerzita; Přírodovědecká fakulta. *6. kurz ICP spektrometrie: Brno 24.-26. května 2011*; Spektroskopická společnost Jana Marka Marci: Brno, 2011.
- (27) Meermann, B.; Nischwitz, V. ICP-MS for the Analysis at the Nanoscale – a Tutorial Review. *J. Anal. At. Spectrom.* **2018**, 33 (9), 1432–1468. <https://doi.org/10.1039/C8JA00037A>.
- (28) Shih, T.-T.; Hsieh, C.-C.; Luo, Y.-T.; Su, Y.-A.; Chen, P.-H.; Chuang, Y.-C.; Sun, Y.-C. A High-Throughput Solid-Phase Extraction Microchip Combined with Inductively Coupled Plasma-Mass Spectrometry for Rapid Determination of Trace Heavy Metals in Natural Water. *Analytica Chimica Acta* **2016**, 916, 24–32. <https://doi.org/10.1016/j.aca.2016.02.027>.
- (29) Milde, D. Porovnání metod atomové spektrometrie. 8.
- (30) *Basic Analytical Toxicology*; Flanagan, R. J., International Program on Chemical Safety, World Health Organization, Eds.; World Health Organization: Geneva, 1995.
- (31) Greenwood, N. N.; Earnshaw, A. *Chemistry of the Elements*, 2nd ed.; Butterworth-Heinemann: Oxford; Boston, 1997.
- (32) *Comprehensive Inorganic Chemistry*, 1st ed.; Bailar, J. C., Trotman-Dickenson, A. F., Eds.; Pergamon Press; distributed by Compendium Publishers [Elmsford, N.Y.: Oxford, 1973.
- (33) UltraWAVE: the Game Changer in Microwave Sample Preparation - Milestone <https://www.milestonesrl.com/products/microwave-digestion/ultrawave> (accessed Dec 3, 2019).
- (34) 8900 Triple Quadrupole ICP-MS | Agilent <https://www.agilent.com/en/products/icp-ms/icp-ms-systems/8900-triple-quadrupole-icp-ms#features> (accessed Dec 3, 2019).
- (35) Coeurdassier, M.; Fritsch, C.; Faivre, B.; Crini, N.; Scheifler, R. Partitioning of Cd and Pb in the Blood of European Blackbirds (*Turdus Merula*) from a Smelter Contaminated Site and Use for Biomonitoring. *Chemosphere* **2012**, 87 (11), 1368–1373. <https://doi.org/10.1016/j.chemosphere.2012.02.031>.
- (36) Opekar, F. *Základní analytická chemie pro studenty, pro něž analytická chemie není hlavním studijním oborem*; Karolinum: Praha, 2002.

PŘÍLOHA 1

(Tab. 4.9 – Výsledky měření ptačích vzorků)

Pořadí vz.	Kód vz.	hmotnost (g)	ředicí faktor (DF)	koncentrace Zn (µg/g)		koncentrace Pb (ng/g)	
				průměr (n=5)	SD (n=5)	průměr (n=5)	SD (n=5)
1/3	2018-CM-B10	0,01358	736	366	± 11	4906	± 209
1/4	2018-CM-B09	0,02013	497	301	± 9	2120	± 54
1/5	2018-CM-B08	0,01499	667	617	± 22	2831	± 77
1/6	2018-CM-B07	0,00447	2237	1074	± 23	17987	± 480
1/7	2018-CM-B06	0,00522	1916	739	± 28	6102	± 151
1/8	2018-CM-B05	0,02136	468	474	± 19	1338	± 49
1/9	2018-CM-B04	0,01157	864	518	± 16	8250	± 231
1/10	2018-CM-B03	0,03600	278	174	± 4	1939	± 71
1/11	2018-CM-B02	0,01586	631	391	± 11	2374	± 51
1/12	2018-CM-B01	0,01161	861	724	± 26	3154	± 147
1/13	2018-CL-B11	0,02813	355	269	± 8	1678	± 66
1/14	2018-CL-B10	0,01357	737	536	± 10	4879	± 119
2/3	2018-CL-B09	0,01433	698	563	± 15	2542	± 87
2/4	2018-CL-B08	0,00709	1410	1250	± 51	2150	± 88
2/5	2018-CL-B07	0,00764	1309	661	± 21	2528	± 96
2/6	2018-CL-B06	0,00799	1252	682	± 14	3496	± 147
2/7	2018-CL-B04	0,01334	750	730	± 32	5076	± 178
2/8	2018-CL-B03	0,02888	346	245	± 5	5006	± 247
2/9	2018-CL-B02	0,01175	851	370	± 10	5208	± 174
2/11	2018-CK-B14	0,01827	547	416	± 14	6544	± 159
2/12	2018-CK-B13	0,01359	736	325	± 9	5884	± 141
2/13	2018-CK-B12	0,02213	452	382	± 17	3532	± 129
2/14	2018-CK-B11	0,02319	431	269	± 7	2695	± 75
2/15	2018-CL-B05	0,03616	277	330	± 10	2131	± 57
3/3	2018-CK-B10	0,02921	342	331	± 14	1871	± 70
3/4	2018-CK-B03	0,01555	643	402	± 18	7494	± 183
3/5	2018-CK-B09	0,01194	838	337	± 9	7550	± 312
3/6	2018-CK-B08	0,01182	846	431	± 12	3772	± 76
3/8	2018-CK-B06	0,01876	533	266	± 7	4723	± 228
3/9	2018-CK-B05	0,01866	536	217	± 6	4074	± 158
3/10	2018-CK-B04	0,02775	360	421	± 11	2674	± 104
3/11	2018-CJ-B09	0,00451	2217	1367	± 48	4088	± 97
3/12	2018-CK-B02	0,01830	546	424	± 14	4854	± 121
3/13	2018-CK-B01	0,03699	270	259	± 5	2227	± 95
3/14	2018-CJ-B11	0,04995	200	51	± 1	643	± 15
3/15	2018-CJ-B10	0,01542	649	259	± 7	2731	± 87
4/1	2018-CJ-B08	0,01285	778	357	± 14	6936	± 199
4/2	2018-CJ-B07	0,01186	843	558	± 15	1508	± 91
4/3	2018-CJ-B06	0,01106	904	411	± 9	2337	± 147

4/4	2018-CJ-B05	0,01845	542	230	± 12	5312	± 118
4/5	2018-CJ-B04	0,01466	682	401	± 15	1468	± 61
4/6	2018-CJ-B03	0,05657	177	101	± 2	811	± 29
4/7	2018-CJ-B02	0,05095	196	145	± 5	1032	± 38
4/8	2018-CJ-B01	0,01328	753	257	± 9	7084	± 246
4/9	2018-CI-B09	0,01283	779	927	± 37	2306	± 104
4/10	2018-CI-B08	0,00812	1232	1220	± 31	1838	± 105
4/11	2018-CI-B07	0,01580	633	675	± 18	1131	± 72
4/12	2018-CI-B06	0,01521	657	504	± 19	1554	± 71
4/13	2018-CI-B05	0,01141	876	782	± 25	901	± 84
5/1	2018-CI-B04	0,01566	639	655	± 23	1798	± 119
5/2	2018-CI-B03	0,01515	660	559	± 13	2843	± 70
5/3	2018-EB-B16	0,01944	514	17	± 1	80	± 3
5/5	2018-EB-B14	0,01645	608	17	± 0	117	± 5
5/7	2018-EB-B12	0,00878	1139	30	± 1	58	± 4
6/11	2018-EA-B09	0,00648	1543	16	± 1	109	± 12
6/12	2018-EA-B08	0,00559	1789	16	± 1	126	± 14
7/3	2018-EA-B04	0,00384	2604	32	± 1	169	± 12
7/4	2018-EA-B03	0,00486	2058	23	± 2	454	± 17
7/5	2018-EA-B02	0,00488	2049	21	± 1	71	± 10
7/6	2018-EA-B01	0,00448	2232	23	± 1	150	± 11
7/7	2018-HC-B22	0,00210	4762	113	± 4	644	± 37
7/8	2018-HC-B21	0,00641	1560	24	± 1	100	± 9
7/9	2018-HC-B20	0,00357	2801	34	± 1	555	± 27
7/10	2018-HC-B19	0,00380	2632	33	± 2	135	± 18
7/12	2018-HC-B17	0,00968	1033	21	± 1	176	± 9
7/13	2018-HC-B16	0,00465	2151	27	± 1	116	± 14
8/3	2018-HC-B13	0,03255	307	3	± 0	16	± 3
8/4	2018-HC-B12	0,00423	2364	26	± 3	137	± 23
8/5	2018-HC-B11	0,00454	2203	23	± 2	143	± 22
8/6	2018-HC-B10	0,00265	3774	44	± 4	339	± 38
8/8	2018-HC-B08	0,00511	1957	21	± 2	124	± 19
8/9	2018-HC-B07	0,00610	1639	25	± 2	120	± 16
8/10	2018-HC-B06	0,00485	2062	33	± 2	111	± 20
8/13	2018-HC-B03	0,00392	2551	27	± 3	170	± 25
9/1	2018-HC-B02	0,00387	2584	40	± 2	166	± 11
9/2	2018-HC-B01	0,00262	3817	34	± 2	242	± 19
9/3	2018-CI-B02	0,01118	894	459	± 17	2704	± 58
9/4	2018-CI-B01	0,01542	649	593	± 17	4357	± 175
9/5	2018-CH-B08	0,00952	1050	530	± 20	4662	± 172
9/6	2018-CH-B07	0,00743	1346	428	± 16	5209	± 204
9/7	2018-CH-B06	0,01207	829	185	± 7	4004	± 198
9/8	2018-CH-B05	0,01053	950	362	± 6	3129	± 100

9/9	2018-CH-B04	0,01207	829	279	± 7	4402	± 123
9/10	2018-CH-B03	0,00813	1230	307	± 10	4823	± 155
9/11	2018-CH-B02	0,00808	1238	586	± 16	4363	± 141
9/12	2018-CH-B01	0,03212	311	70	± 2	1044	± 26
9/13	2018-CG-B16	0,01231	812	221	± 8	2473	± 78
10/1	2018-CG-B15	0,02228	449	246	± 8	2035	± 88
10/2	2018-CG-B14	0,00992	1008	324	± 12	3835	± 171
10/3	2018-CG-B13	0,01287	777	569	± 27	2123	± 83
10/4	2018-CG-B12	0,03042	329	185	± 11	2742	± 65
10/5	2018-CG-B11	0,00769	1300	740	± 29	5270	± 124
10/6	2018-CG-B10	0,01231	812	613	± 18	5477	± 215
10/7	2018-CG-B09	0,02908	344	197	± 8	3736	± 91
10/8	2018-CG-B08	0,01671	598	372	± 13	2327	± 66
10/9	2018-CG-B07	0,00722	1385	568	± 22	2014	± 92
10/10	2018-CG-B06	0,01053	950	567	± 18	14703	± 543
10/11	2018-CG-B05	0,01314	761	416	± 12	5590	± 194
10/12	2018-CG-B04	0,01807	553	267	± 8	4535	± 174
10/13	2018-CG-B03	0,02925	342	408	± 11	3204	± 108
11/1	2018-CG-B02	0,02829	353	226	± 10	3312	± 102
11/2	2018-CG-B01	0,00948	1055	477	± 13	4149	± 202
11/3	2018-CF-B11	0,01714	583	232	± 11	3816	± 226
11/4	2018-CF-B10	0,02153	464	98	± 3	2420	± 71
11/5	2018-CF-B09	0,01155	866	215	± 8	2562	± 99
11/6	2018-CF-B08	0,00760	1316	197	± 9	4349	± 155
11/7	2018-CF-B07	0,00750	1333	884	± 31	1031	± 36
11/8	2018-CF-B06	0,01278	782	167	± 5	3790	± 110
11/9	2018-CF-B05	0,02297	435	334	± 9	3688	± 130
11/10	2018-CF-B04	0,03871	258	69	± 2	1818	± 86
11/11	2018-CF-B03	0,01099	910	402	± 14	3628	± 126
11/12	2018-CF-B02	0,00547	1828	157	± 6	1261	± 51
11/13	2018-CF-B01	0,00709	1410	306	± 11	4696	± 292
12/1	2018-CE-B11	0,01890	529	266	± 10	3257	± 127
12/2	2018-CE-B10	0,02600	385	165	± 4	3002	± 59
12/3	2018-CE-B09	0,01617	618	425	± 12	4246	± 142
12/4	2018-CE-B08	0,02196	455	192	± 8	4209	± 120
12/5	2018-CE-B07	0,00537	1862	1058	± 46	678	± 17
12/6	2018-CE-B06	0,00857	1167	353	± 16	3724	± 154
12/7	2018-CE-B05	0,04231	236	136	± 4	2690	± 88
12/8	2018-CE-B04	0,01322	756	371	± 10	4241	± 239
12/9	2018-CE-B03	0,01926	519	255	± 8	4787	± 149
12/10	2018-CE-B02	0,01234	810	295	± 8	4168	± 228
12/11	2018-CE-B01	0,02376	421	270	± 14	2666	± 149
12/12	2018-CD-B11	0,04597	218	136	± 4	1732	± 67

12/13	2018-CD-B10	0,00945	1058	685	± 13	1011	± 34
21/1	CRM	0,9149	12	7,243	± 0,199	337	± 9
21/2	CRM	0,96692	11	7,220	± 0,199	353	± 12
21/3	CRM	0,96271	11	7,394	± 0,236	351	± 22
21/4	2018-FA-B08	0,00800	1250	36	± 2	550	± 15
21/5	2018-FA-B09	0,00822	1217	28	± 1	95	± 4
21/6	2018-FA-B10	0,00567	1764	50	± 2	291	± 16
21/7	2018-FA-B11	0,00289	3460	89	± 2	769	± 27
21/8	2018-FA-B12	0,00458	2183	46	± 2	206	± 13
21/9	2018-FA-B13	0,00328	3049	77	± 2	2073	± 89
21/10	2018-FA-B14	0,00346	2890	44	± 2	493	± 17
21/11	2018-FA-B15	0,00828	1256	35	± 2	533	± 20
21/12	2018-FE-B07	0,00290	3448	50	± 2	102	± 9
21/13	2018-FE-B08	0,00626	1597	38	± 1	184	± 10
13/1	2018-CD-B09	0,02487	402	291	± 10	3038	± 152
13/2	2018-CD-B08	0,01601	625	151	± 5	4810	± 212
13/3	2018-CD-B07	0,02212	452	264	± 11	3758	± 75
13/4	2018-CD-B06	0,02785	359	226	± 8	2832	± 73
13/5	2018-CD-B05	0,01182	846	224	± 4	5263	± 143
13/6	2018-CD-B04	0,01949	513	273	± 5	3599	± 111
13/7	2018-CD-B03	0,02553	392	255	± 8	2326	± 94
13/8	2018-CD-B02	0,02582	387	305	± 11	3100	± 99
13/9	2018-CD-B01	0,00963	1038	182	± 8	7041	± 308
13/10	2018-CC-B10	0,01448	691	357	± 11	5091	± 197
13/11	2018-CC-B09	0,01656	604	314	± 8	4493	± 212
13/12	2018-CC-B08	0,02623	381	245	± 9	3387	± 106
13/13	2018-CC-B07	0,02547	393	236	± 6	3615	± 136
14/1	2018-CC-B06	0,03467	288	115	± 4	1687	± 35
14/2	2018-CC-B05	0,03129	320	207	± 5	2946	± 67
14/3	2018-CC-B04	0,03551	282	168	± 8	1921	± 65
14/4	2018-CC-B03	0,02303	434	216	± 3	2953	± 91
14/5	2018-CC-B02	0,01842	543	256	± 7	3641	± 111
14/6	2018-CC-B01	0,02668	375	213	± 6	3629	± 102
14/7	2018-CB-B12	0,01839	544	210	± 5	2915	± 61
14/8	2018-CB-B11	0,04000	250	101	± 3	1606	± 52
14/9	2018-CB-B10	0,02745	364	165	± 4	2153	± 65
14/10	2018-CB-B09	0,02993	334	156	± 4	3012	± 83
14/11	2018-CB-B08	0,01267	789	455	± 13	2985	± 63
14/12	2018-CB-B07	0,03553	281	116	± 4	1228	± 55
14/13	2018-CB-B06	0,05548	180	118	± 3	986	± 27
15/1	2018-CB-B05	0,01929	518	228	± 7	2785	± 73
15/2	2018-CB-B04	0,04890	204	102	± 4	1170	± 33
15/3	2018-CB-B03	0,01209	827	610	± 27	2064	± 57

15/4	2018-CB-B02	0,01297	771	425	± 14	2837	± 92
15/5	2018-CB-B01	0,01632	613	344	± 7	4142	± 194
15/7	2018-PA-B02	0,00175	5714	126	± 6	260	± 23
15/8	2018-PA-B03	0,00689	1451	18	± 1	113	± 7
16/1	2018-PA-B09	0,00261	3831	57	± 2	60	± 6
16/2	2018-PA-B10	0,00388	2577	21	± 1	100	± 6
16/3	2018-PA-B11	0,00141	7092	157	± 10	105	± 13
16/4	2018-PA-B12	0,00245	4082	37	± 1	56	± 6
16/5	2018-PA-B13	0,00126	7937	72	± 4	78	± 11
16/6	2018-PA-B14	0,00455	2198	27	± 1	55	± 3
16/7	2018-PA-B15	0,00397	2519	58	± 1	76	± 5
16/8	2018-EK-B01	0,00212	4717	1870	± 40	5719	± 169
16/9	2018-EK-B02	0,00290	3448	606	± 25	220	± 9
16/10	2018-EK-B03	0,00441	2268	222	± 5	247	± 11
16/11	2018-EK-B04	0,00197	5076	452	± 16	225	± 14
16/12	2018-EK-B05	0,00392	2551	318	± 13	63	± 4
16/13	2018-EK-B06	0,00140	7143	973	± 33	458	± 18
17/1	2018-EK-B07	0,00473	2114	306	± 11	150	± 7
17/2	2018-EK-B08	0,00255	3922	886	± 18	317	± 16
17/3	2018-EK-B09	0,00565	1770	424	± 15	173	± 8
17/4	2018-EK-B10	0,00282	3546	465	± 26	299	± 10
17/5	2018-BA-B01	0,00217	4608	56	± 3	425	± 20
17/6	2018-BA-B02	0,00334	2994	37	± 2	318	± 14
17/7	2018-BA-B03	0,00297	3367	61	± 2	214	± 7
17/8	2018-BA-B04	0,00324	3086	30	± 2	206	± 7
17/9	2018-BA-B05	0,00910	1099	8	± 1	148	± 6
17/10	2018-BA-B06	0,00253	3953	76	± 3	878	± 28
17/11	2018-BA-B07	0,00351	2849	56	± 2	365	± 9
17/12	2018-BA-B08	0,00679	1473	28	± 1	752	± 23
17/13	2018-BA-B09	0,00197	5076	47	± 3	513	± 19
18/1	2018-BA-B10	0,00298	3355,70	27	± 2	518	± 24
18/2	2018-BA-B11	0,00400	2500,00	97	± 5	271	± 15
18/3	2018-BA-B12	0,00198	5050,51	85	± 5	188	± 26
18/4	2018-BA-B13	0,00427	2341,92	32	± 2	164	± 13
18/5	2018-BA-B14	0,01050	952,38	17	± 1	42	± 5
18/6	2018-BA-B15	0,00306	3267,97	42	± 3	245	± 20
18/7	2018-BA-B16	0,00423	2364,07	37	± 2	1213	± 29
18/8	2016-PA-B14	0,00532	1879,70	27	± 2	107	± 10
18/9	2016-PA-B15	0,00260	3846,15	43	± 3	377	± 22
19/2	2018-NB-B06	0,00146	6849,32	2608	± 160	1272	± 56
19/3	2018-NB-B07	0,00865	1156,07	316	± 15	1226	± 35
19/4	2018-NB-B08	0,00149	6711,41	2844	± 143	1659	± 53
19/5	2018-NB-B09	0,00105	9523,81	2486	± 156	1114	± 43

19/6	2018-NB-B10	0,00338	2958,58	980	± 50	1459	± 30
19/7	2018-NB-B11	0,00129	7751,94	1045	± 50	3450	± 74
19/8	2018-NB-B12	0,00309	3236,25	1363	± 68	1098	± 34
20/3	2018-BC-08	0,00393	2544,53	44	± 2	1518	± 39
20/5	2018-BC-10	0,00630	1587,30	33	± 2	1673	± 35
20/6	2018-BC-11	0,00183	5464,48	65	± 4	793	± 27
20/7	2018-FA-B01	0,00588	1700,68	43	± 3	747	± 20
20/8	2018-FA-B02	0,00557	1795,33	45	± 3	427	± 10
20/9	2018-FA-B03	0,00643	1555,21	43	± 2	369	± 9
20/10	2018-FA-B04	0,00226	4424,78	66	± 4	563	± 17
20/11	2018-FA-B05	0,00367	2724,80	73	± 5	412	± 18
20/12	2018-FA-B06	0,00682	1466,28	85	± 5	711	± 12
20/13	2018-FA-B07	0,00214	4672,90	79	± 4	890	± 31
22/1	2018-FE-B09	0,01120	892,86	27	± 1	145	± 4
22/2	2018-FE-B10	0,01501	666,22	12	± 1	20	± 1
22/3	2018-FE-B11	0,00659	1517,45	26	± 2	94	± 3
22/4	2018-FE-B12	0,00589	1697,79	39	± 2	178	± 4
22/6	2018-FE-B14	0,00420	2380,95	46	± 2	439	± 14
22/7	2018-FE-B15	0,00199	5025,13	154	± 10	568	± 18
21/1	CRM	0,9149	11,59	7,327	± 0,341	317	± 7
21/2	CRM	0,96692	10,96	7,114	± 0,364	321	± 8
21/3	CRM	0,96271	11,01	6,976	± 0,405	318	± 7
24/13	2016-PA-B02	0,00218	4587,16	33	± 3	155	± 10
25/2	2016-PA-B04	0,00195	5128,21	79	± 5	158	± 5
25/3	2016-PA-B05	0,00246	4065,04	29	± 2	210	± 7
25/4	2016-PA-B06	0,00372	2688,17	29	± 2	74	± 4
25/5	2016-PA-B07	0,00277	3610,11	31	± 2	214	± 13
25/6	2016-PA-B08	0,00457	2188,18	28	± 2	77	± 3
25/7	2016-PA-B09	0,00432	2314,81	27	± 2	56	± 3
25/9	2016-PA-B11	0,00368	2717,39	24	± 1	107	± 4
25/10	2016-PA-B12	0,00256	3906,25	27	± 2	221	± 7
25/11	2016-PA-B13	0,00417	2398,08	35	± 2	76	± 5
25/13	2018-SA-B16	0,00308	3246,75	37	± 2	78	± 3
26/2	2018-EE-B08	0,00599	1669,45	37	± 3	1116	± 23
26/3	2018-EE-B09	0,00555	1801,80	44	± 3	569	± 21
26/5	2018-EE-B11	0,00290	3448,28	68	± 4	661	± 18
26/7	2014-EI-B02	0,00136	7352,94	117	± 8	597	± 25
26/8	2015-EI-B01	0,00134	7462,69	118	± 8	113	± 16
26/10	2018-HA-B01	0,00571	1751,31	39	± 2	102	± 6
26/11	2018-HA-B02	0,00274	3649,64	69	± 4	230	± 10
26/12	2018-HA-B03	0,00254	3937,01	58	± 4	73	± 10
26/13	2018-HA-B04	0,00577	1733,10	54	± 3	108	± 4
27/1	2018-HA-B05	0,00253	3952,57	32	± 2	119	± 7

27/2	2018-HA-B06	0,00437	2288,33	31	± 2	107	± 4
27/3	2018-HA-B07	0,00260	3846,15	44	± 3	110	± 6
27/4	2018-HA-B08	0,00477	2096,44	44	± 2	97	± 4
27/5	2018-HA-B09	0,02166	461,68	19	± 1	32	± 1
27/6	2018-HA-B10	0,00728	1373,63	28	± 2	94	± 5
27/7	2018-HA-B11	0,00346	2890,17	57	± 3	103	± 5
27/8	2018-HA-B12	0,00484	2066,12	64	± 4	256	± 8
27/9	2018-HA-B13	0,00345	2898,55	35	± 2	162	± 8
27/13	2018-HA-B17	0,00338	2958,58	27	± 2	76	± 5
28/1	2018-HA-B18	0,00393	2544,53	24	± 2	60	± 4
28/3	2018-HA-B20	0,00463	2159,83	30	± 2	39	± 4
28/4	2018-HA-B21	0,00165	6060,61	76	± 4	92	± 9
28/5	2018-HA-B22	0,00432	2314,81	33	± 2	1337	± 34
28/6	2018-HA-B23	0,00154	6493,51	102	± 8	216	± 11
28/7	2018-HA-B24	0,00292	3424,66	32	± 2	181	± 9
28/8	2018-HA-B25	0,00263	3802,28	39	± 3	232	± 10
28/9	2018-HA-B26	0,00501	1996,01	29	± 2	109	± 4
28/10	2018-HA-B27	0,00226	4424,78	53	± 4	155	± 9
28/11	2018-HA-B28	0,00462	2164,50	29	± 2	71	± 4
28/12	2018-HA-B29	0,00196	5102,04	41	± 3	242	± 11
29/1	2018-EI-B02	0,00208	4807,69	15	± 2	186	± 17
29/2	2018-EI-B03	0,00213	4694,84	28	± 3	166	± 17
29/3	2018-EI-B04	0,00166	6024,10	43	± 4	176	± 24
29/5	2018-EI-B06	0,00230	4347,83	35	± 3	145	± 16
29/6	2018-EI-B07	0,00153	6535,95	133	± 9	259	± 23
29/7	2018-EI-B08	0,00138	7246,38	55	± 5	471	± 27
29/8	2018-SB-B01	0,00285	3508,77	29	± 2	216	± 15
29/10	2018-SB-B03	0,00226	4424,78	17	± 2	206	± 17
30/1	2018-SB-B07	0,00213	4694,84	37	± 3	40	± 5
30/3	2018-SB-B09	0,00257	3891,05	27	± 2	60	± 4
30/5	2018-EF-B01	0,00539	1855,29	29	± 2	127	± 4
30/6	2018-EF-B02	0,00165	6060,61	44	± 3	91	± 6
30/7	2018-EF-B03	0,00275	3636,36	37	± 2	146	± 7
30/8	2018-EF-B04	0,00486	2057,61	29	± 2	74	± 3
30/9	2018-EF-B05	0,01025	975,61	25	± 2	35	± 2
30/10	2018-EF-B06	0,00431	2320,19	28	± 2	34	± 3
30/11	2018-EF-B07	0,00122	8196,72	61	± 5	175	± 8
30/12	2018-EF-B08	0,00519	1926,78	31	± 2	44	± 3
30/13	2018-EF-B09	0,00201	4975,12	46	± 3	79	± 7
31/1	2018-EF-B10	0,00178	5617,98	65	± 4	163	± 12
31/2	2018-EF-B11	0,00494	2024,29	53	± 3	76	± 5
31/3	2018-EF-B12	0,00428	2336,45	30	± 2	34	± 5
31/4	2018-SA-B01	0,00194	5154,64	40	± 3	128	± 10

31/5	2018-SA-B02	0,00495	2020,20	25	± 1	94	± 8
31/6	2018-SA-B03	0,00370	2702,70	28	± 2	49	± 6
31/7	2018-SA-B04	0,00201	5124,38	38	± 3	196	± 14
31/8	2018-SA-B05	0,00249	4016,06	39	± 3	285	± 11
31/9	2018-SA-B06	0,00197	5076,14	27	± 2	111	± 12
31/13	2018-SA-B10	0,00203	4926,11	38	± 3	4094	± 110
32/5	2018-FS-B01	0,00153	6535,95	59	± 4	997	± 34
32/6	2018-FS-B02	0,00187	5347,59	89	± 6	2231	± 61
32/7	2018-FS-B03	0,00247	4048,58	97	± 6	4437	± 106
32/8	2018-FS-B04	0,00379	2638,52	46	± 3	162	± 12
32/9	2018-FS-B05	0,00278	3597,12	58	± 3	764	± 26
32/10	2018-FS-B06	0,00235	4255,32	176	± 9	792	± 27
32/11	2018-FS-B07	0,00343	2915,45	103	± 7	4733	± 96
32/12	2018-FS-B08	0,00381	2624,67	52	± 3	279	± 17
32/13	2018-FS-B09	0,00403	2481,39	42	± 2	290	± 14
33/1	2018-FS-B10	0,00126	7936,51	596	± 32	616	± 24
33/4	2018-FS-B13	0,00792	1262,63	43	± 2	93	± 3
33/5	2018-FS-B14	0,00330	3030,30	75	± 4	276	± 12
33/6	2018-NA-B01	0,00427	2341,92	1547	± 87	606	± 17
33/7	2018-NA-B02	0,00642	1557,63	1697	± 81	603	± 17
33/8	2018-NA-B03	0,00455	2197,80	1080	± 49	2360	± 58
33/9	2018-NA-B04	0,00480	2083,33	1334	± 80	408	± 11
33/10	2018-NA-B05	0,00431	2320,19	1308	± 68	2061	± 70
33/11	2018-NA-B06	0,00258	3875,97	3338	± 163	848	± 31
33/12	2018-NA-B07	0,00420	2380,95	2074	± 97	467	± 13
34/1	2018-NA-B08	0,00484	2066,12	1455	± 74	480	± 11
34/2	2018-NA-B09	0,00319	3134,80	2415	± 121	621	± 17
34/3	2018-NA-B10	0,00283	3533,57	1852	± 94	2931	± 72
34/4	2018-NA-B11	0,00367	2724,80	1328	± 63	1291	± 27
34/5	2018-NA-B12	0,00461	2212,58	2235	± 127	624	± 15
34/6	2018-PB-B01	0,00436	2293,58	31	± 2	75	± 8
34/7	2018-PB-B02	0,00337	2967,36	52	± 3	189	± 12
34/8	2018-PB-B03	0,00340	2941,18	63	± 4	133	± 11
34/9	2018-PB-B04	0,00166	6024,10	66	± 4	474	± 28
34/10	2018-PB-B05	0,00352	2840,91	36	± 2	106	± 11
34/11	2018-PB-B06	0,00415	2409,64	36	± 2	100	± 9
34/12	2018-PB-B07	0,00360	2777,78	35	± 2	67	± 10
35/1	2018-FL-B01	0,02279	438,79	7	± 1	14	± 1
35/2	2018-FL-B02	0,03164	316,06	9	± 1	14	± 1
35/3	2018-FL-B03	0,01445	692,04	25	± 1	23	± 2
35/4	2018-FL-B04	0,01049	953,29	24	± 1	98	± 5
35/5	2018-FL-B05	0,01517	659,20	18	± 1	22	± 2
35/7	2018-FL-B07	0,00812	1231,53	26	± 2	22	± 4

35/8	2018-FL-B08	0,01244	803,86	32	± 2	13	± 2
35/9	2018-FL-B09	0,01134	881,83	21	± 1	63	± 4
35/10	2018-FL-B10	0,01435	696,86	18	± 1	9	± 2
35/11	2018-FL-B11	0,01878	532,48	15	± 1	34	± 2
35/12	2018-FL-B12	0,01063	940,73	21	± 1	121	± 4
36/1	2018-FL-B13	0,00852	1173,71	27	± 2	22	± 2
36/2	2018-DE-B01	0,00372	2688,17	21	± 2	6567	± 155
36/3	2018-DE-B02	0,00402	2487,56	23	± 1	7545	± 111
36/4	2018-DE-B03	0,00429	2331,00	19	± 1	5704	± 178
36/5	2018-DE-B04	0,00223	4484,30	38	± 3	7361	± 129
36/6	2018-DE-B05	0,00286	3496,50	72	± 5	7169	± 157
36/7	2018-DE-B06	0,00427	2341,92	22	± 1	4710	± 129
36/8	2018-DE-B07	0,00556	1798,56	21	± 1	5470	± 140
36/9	2018-DE-B08	0,00453	2207,51	21	± 1	3293	± 94
36/10	2018-DE-B09	0,00266	3759,40	21	± 1	5311	± 130
36/11	2018-DE-B10	0,00603	1658,37	27	± 2	3389	± 120
36/12	2018-DE-B11	0,00552	1811,59	20	± 2	4130	± 73
37/2	2018-FE-B01	0,00612	1633,99	26	± 1	129	± 6
37/3	2018-FE-B02	0,00688	1453,49	26	± 2	180	± 4
37/4	2018-FE-B03	0,00971	1029,87	27	± 2	132	± 3
37/5	2018-FE-B04	0,01130	884,96	21	± 1	51	± 2
37/6	2018-FE-B05	0,00577	1733,10	44	± 3	260	± 7
37/7	2018-FE-B06	0,00914	1094,09	27	± 1	141	± 4
37/8	2018-EC-B01	0,00995	1005,03	48	± 3	68	± 2
37/9	2018-EC-B02	0,01066	938,09	17	± 1	27	± 2
37/10	2018-EC-B03	0,00860	1162,79	18	± 1	13	± 1
37/11	2018-EC-B04	0,01090	917,43	19	± 1	34	± 1
37/12	2018-EC-B05	0,01120	892,86	19	± 1	23	± 1
38/1	2018-EC-B06	0,01080	925,93	23	± 1	14	± 1
38/2	2018-EC-B07	0,01367	731,53	21	± 1	17	± 1
38/3	2018-EC-B08	0,01066	938,09	19	± 1	20	± 2
38/4	2018-EC-B09	0,01446	691,56	18	± 1	14	± 1
38/5	2018-EC-B10	0,01287	777,00	30	± 2	12	± 1
38/6	2018-EE-B01	0,00403	2481,39	36	± 3	2295	± 34
38/7	2018-EE-B02	0,00589	1697,79	34	± 3	2520	± 63
38/8	2018-EE-B03	0,00637	1569,86	27	± 2	583	± 25
38/9	2018-EE-B04	0,00605	1652,89	19	± 2	531	± 14
38/10	2018-EE-B05	0,00478	2092,05	26	± 2	376	± 25
38/11	2018-EE-B06	0,00640	1562,50	27	± 2	620	± 17
38/12	2018-EE-B07	0,00209	4784,69	42	± 4	2632	± 70